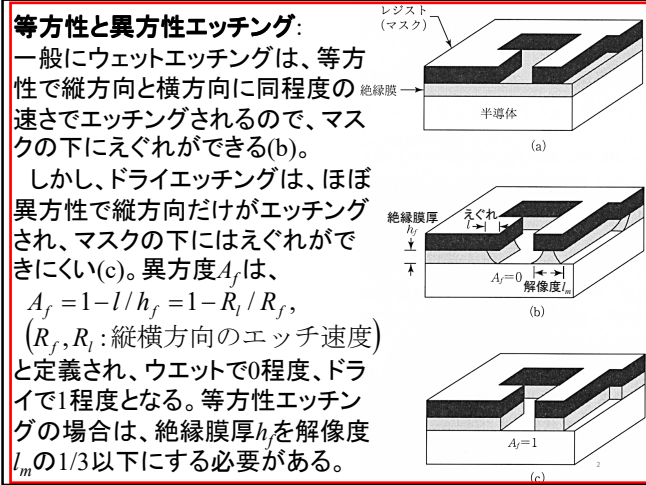
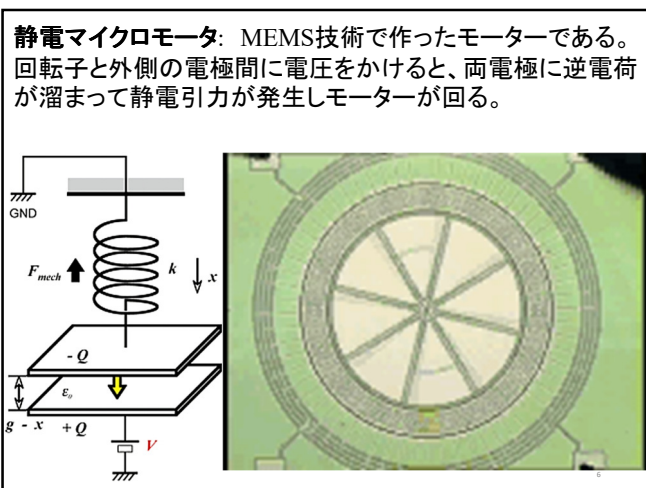
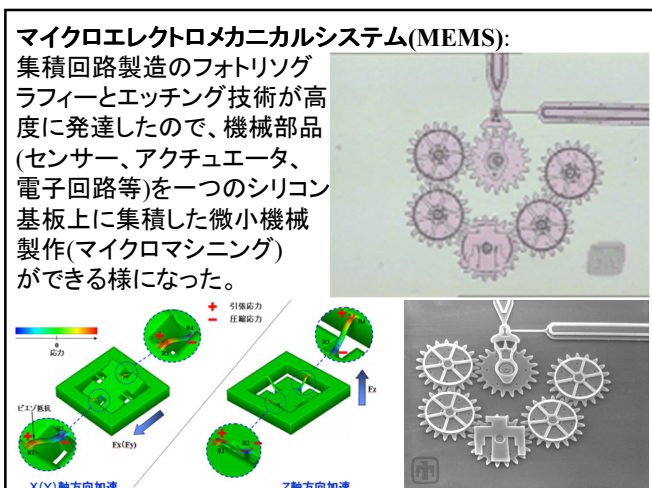
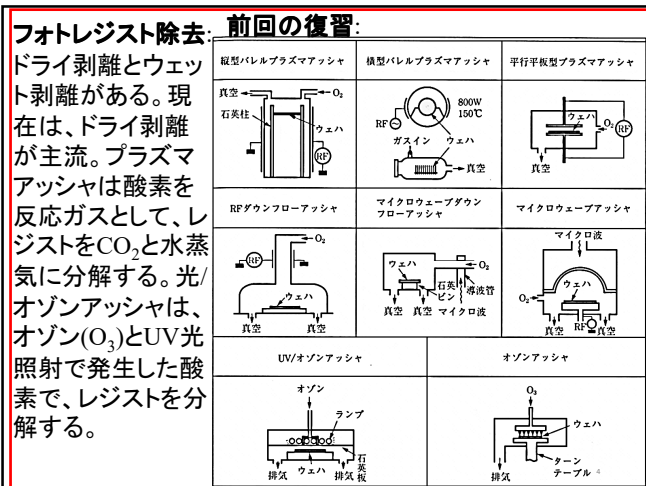
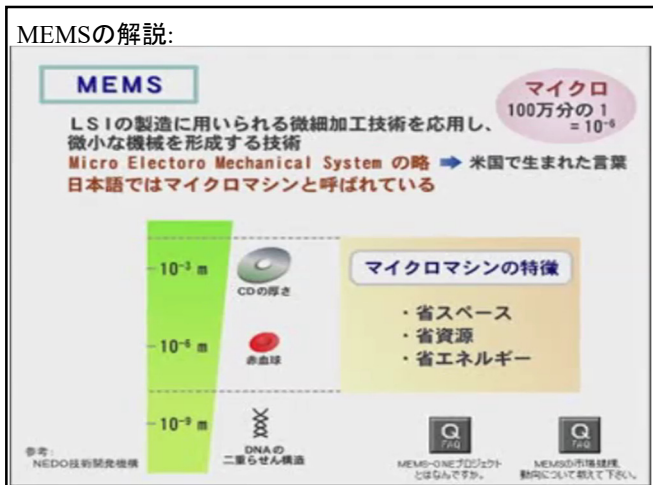
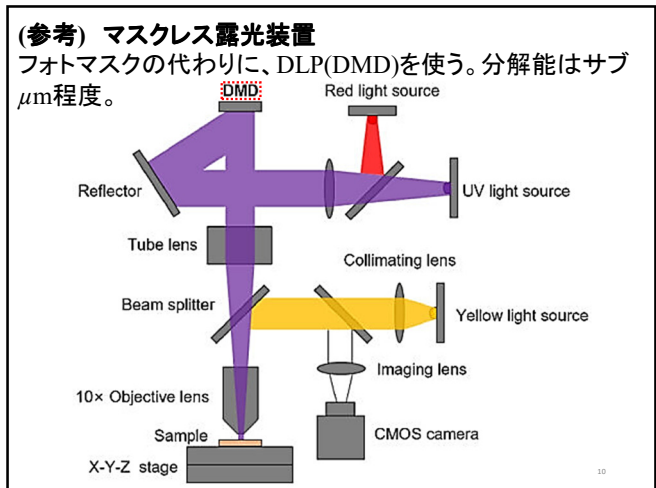
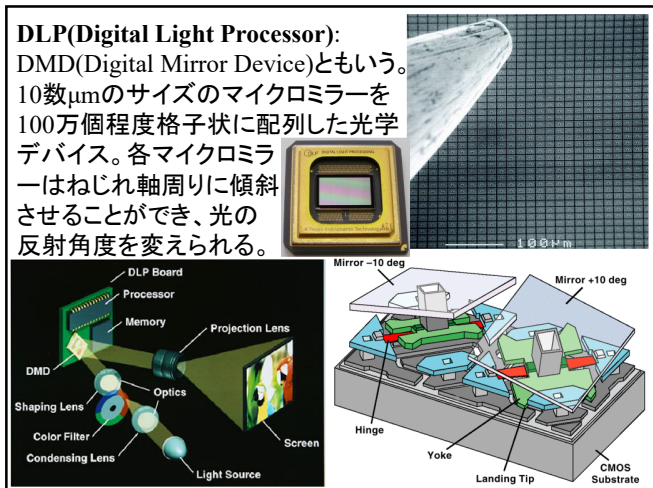
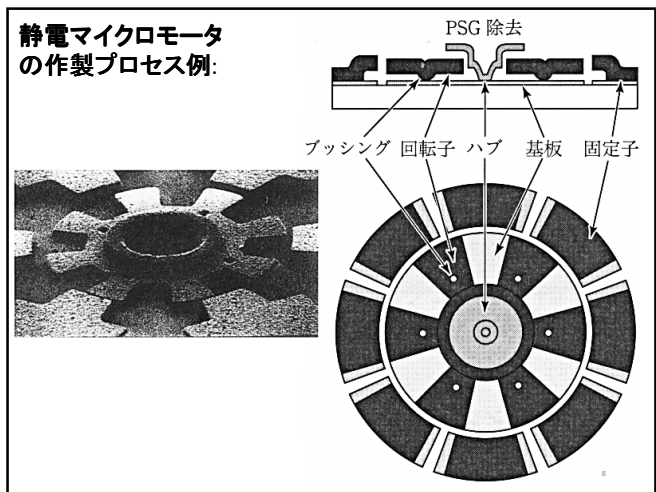
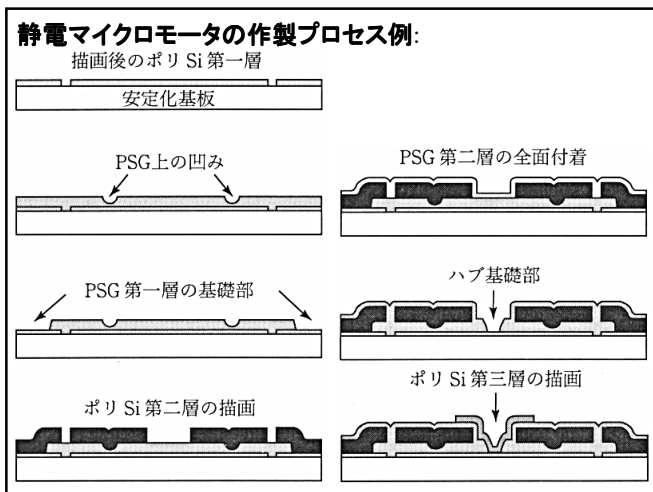


前回の復習:	
エッチング技術:	
エッチング技術は、集積回路の様々な製造工程で使われている。	集積エッチング
初期のエッチングは全てウェットエッチングであったが、微細化が進むと共に異方性のドライエッチングが良く使われるようになった。	シリコンエッチング （シリコンオーブン） エッチング液（シリコンレジスト） 下地（Si） エッチング液（シリコンレジスト） 下地（Si） LOGOSバッグ LOGOS露化 構造 LOGOS露化 マスク （SiO ₂ マスク使用、PRは除去する） シリコンエッチャ （シリコンレジスト） 下地（Si） ゲート電極 3次元構造の加工 キャバシタ電極 AI電極配線 エッチャバッグ （Wブリグ） （Wブリグ） （Wブリグ） （Wブリグ） その他 接着電極膜およびその電極材料のエッチング



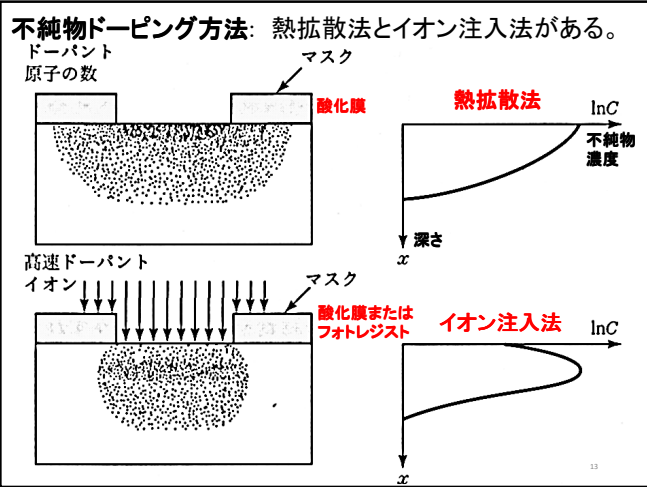
前回の復習:	
ウェットエッチング:	
エッチング液中にウェハーを侵すディップ(バッチ)式と液を吹き付けるスプレー(枚葉)式等がある。スプレー式の方がエッチ速度と均一性が高いため良く使われる。かつては、ウェットエッチングも良く使われたが、最近ではウェハーの全面エッチング等に使われる。	ドライエッチング: 反応ガスを減圧チャンバー内に流してエッチングする。反応ガスをプラズマ励起で中性ラジカルやイオンにして、ウェハー上の材料をエッチングする化学的効果と、イオンを加速してウェハーをスパッタリングする物理的効果の両方を使う。前者は等方性で後者は異方性である。この2つの効果の割合の違いで複数の手法がある。





不純物ドーピング:半導体の電気的性質(*n*型、*p*型)を変える。

pn接合の形成	バイポーラ LSI CMOS LSI	アイソレーション領域 コレクタ埋込み領域 ベース領域 エミッタ領域など ウェル形成 ソース／ドレイン形成
抵抗の形成	シリコン ポリシリコン	pn接合による抵抗 不純物制御による抵抗値制御
不純物濃度制御	チャネルストップ (フィールドドープ) 反転層形成の防止 バイポーラトランジスタの特性向上 (反転層の防止) チャネルドープ (しきい値電圧 $-V_{th}$ 制御)	
導電性の向上	ポリシリコン中への不純物導入 (ゲート、配線、キャバシタ電極)	
分離層の形成	SIMOXにおける酸素の深い打込み	
ウェハ分離	水素イオンの注入によるウェハの分離	
ゲッタリング	Arイオンの注入によるウェハ背面へのダメージ層導入	



不純物ドーピングの解説:

不純物拡散

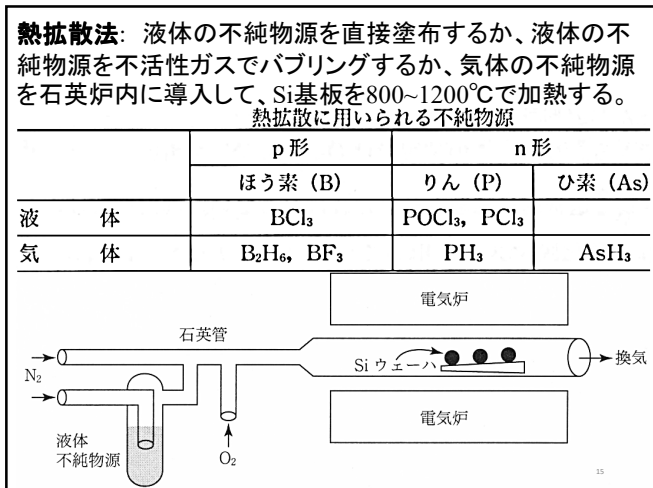
ウェハ前面、あるいは表面の一部に不純物を添加しP型やN型半導体領域をつくる

熱拡散法

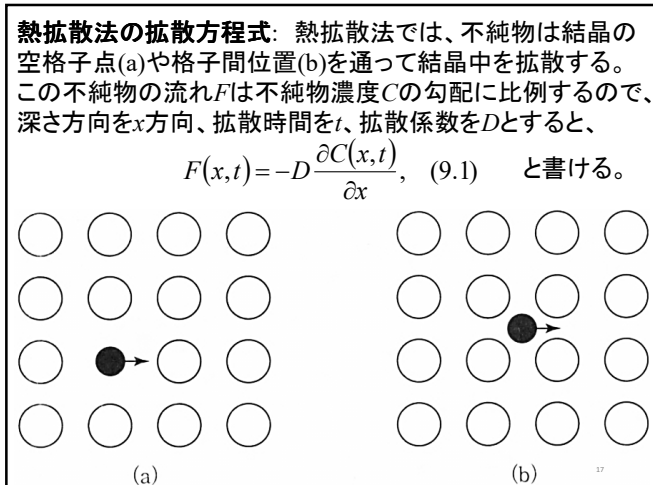
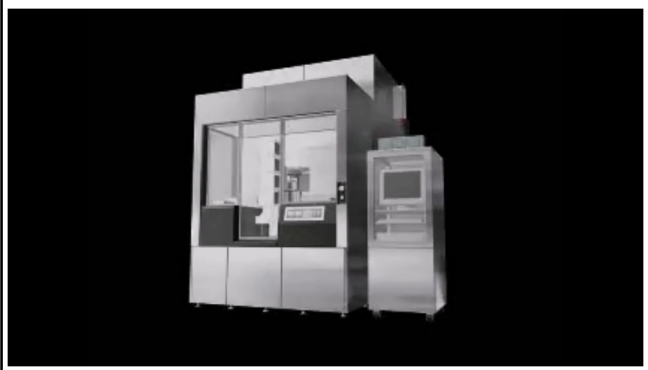
イオン注入法

- ・プロセスの微細化
- ・ウェハの大口径化

イオン注入法が多く用いられる



縦型熱拡散炉:



また、結晶内部の深さxにある(面積1で高さΔxの)微小体積Δx内の不純物量(C(x, t)Δx)の時間変化は、(入ってくる不純物-出していく不純物)と等しいので、

$$\begin{aligned} \{C(x, t + \Delta t) - C(x, t)\}\Delta x &= \{F(x, t) - F(x + \Delta x, t)\}\Delta t, \\ \frac{C(x, t + \Delta t) - C(x, t)}{\Delta t} &= -\frac{F(x + \Delta x, t) - F(x, t)}{\Delta x}, \\ \frac{\partial C(x, t)}{\partial t} &= -\frac{\partial F(x, t)}{\partial x}, \quad (9.2) \end{aligned}$$

となる。よって、(9.1)式を(9.2)式に代入すると、

$$\frac{\partial C(x, t)}{\partial t} = D \frac{\partial^2 C(x, t)}{\partial x^2}, \quad (9.3)$$

が得られる。この式をフィック(Fick)の方程式という。また、拡散係数Dは温度の関数であり、活性化エネルギーE_aを使うと、

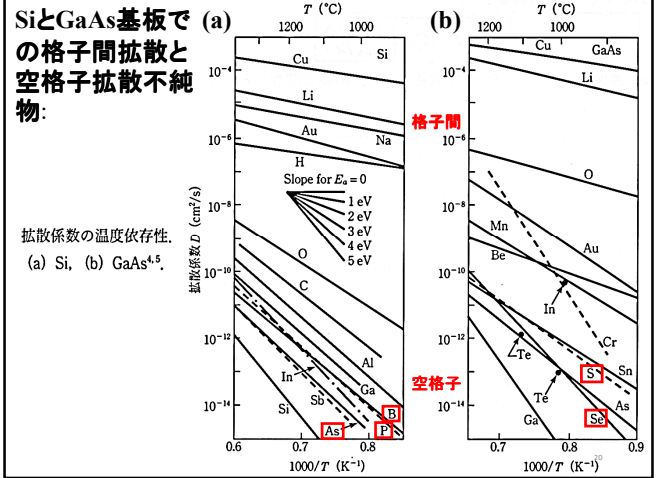
$$D = D_0 \exp\left(-\frac{E_a}{k_B T}\right), \quad (9.4)$$

と書ける。

D_0 は温度 T が ∞ の時の拡散係数と定義される。活性化エネルギー E_a は、格子間拡散では隣の格子間位置に移る時の障壁の高さ(0.5~2eV程度)であり、空格子拡散では移り先のSiを押しのけて空格子を形成するのに必要なエネルギー(3~5eV程度)である。従って、実験的に E_a を測定すれば、不純物拡散が格子間拡散なのか空格子拡散のかが分かる。

次スライドの様に、Si基板ではCu,Li,Na,H等の不純物が格子間拡散で、O,C,Al,B,P,As等の不純物が空格子拡散となる。

19



表面不純物濃度が一定の場合の拡散分布:

フィックの方程式から不純物ドーピング後の基板内の不純物濃度分布を求めてみよう。今、不純物が気相から半導体表面に常に供給されていて、表面($x=0$)での不純物濃度は一定値(C_s)とする。その場合、初期条件($t=0$)と境界条件は、 $C(x,0) = 0$ ($x \neq 0$), $C(0,t) = C_s$, $C(\infty,t) = 0$, (9.5)となる。この時のフィックの方程式の解は、

$$\begin{aligned} C(x,t) &= C_s \left\{ 1 - \frac{2}{\sqrt{\pi}} \int_0^{2\sqrt{Dt}} e^{-y^2} dy \right\} \\ &\equiv C_s \left\{ 1 - \operatorname{erf} \left(\frac{x}{2\sqrt{Dt}} \right) \right\}, \end{aligned} \quad (9.6)$$

となる。(9.6)式の erf を誤差関数(補足1)という。証明のために、実際に(9.6)式をフィックの方程式に代入してみよう。

21

$$\begin{aligned} C(x,t) &= C_s \left\{ 1 - \frac{2}{\sqrt{\pi}} \int_0^{2\sqrt{Dt}} e^{-y^2} dy \right\}, \quad (9.6) \\ C \text{を } t \text{ で微分: } \frac{\partial C}{\partial t} &= -\frac{2C_s}{\sqrt{\pi}} e^{-\frac{x^2}{4Dt}} \cdot \frac{-x}{4\sqrt{Dt^3}} = \frac{C_s x}{2\sqrt{\pi Dt^3}} e^{-\frac{x^2}{4Dt}}, \\ C \text{を } x \text{ で微分: } \frac{\partial C}{\partial x} &= -\frac{2C_s}{\sqrt{\pi}} e^{-\frac{x^2}{4Dt}} \cdot \frac{1}{2\sqrt{Dt}} = \frac{-C_s}{\sqrt{\pi Dt}} e^{-\frac{x^2}{4Dt}}, \\ x \text{ でさらに微分: } \frac{\partial^2 C}{\partial x^2} &= \frac{\partial}{\partial x} \left(\frac{-C_s}{\sqrt{\pi Dt}} e^{-\frac{x^2}{4Dt}} \right) \\ &= \frac{C_s}{\sqrt{\pi Dt}} e^{-\frac{x^2}{4Dt}} \frac{2x}{4Dt} = \frac{C_s x}{2\sqrt{\pi D^3 t^3}} e^{-\frac{x^2}{4Dt}}, \\ \text{従って, } \frac{\partial C}{\partial t} &= \frac{C_s x}{2\sqrt{\pi Dt^3}} e^{-\frac{x^2}{4Dt}} = D \frac{\partial^2 C}{\partial x^2}, \quad (\text{証明終}) \end{aligned}$$

22

$$\begin{aligned} \text{また念のために、初期条件と境界条件も確認してみると、} \\ \left. \begin{aligned} \text{初期条件: } C(x,0) &= 0 \quad (x \neq 0), \\ \text{境界条件: } C(0,t) &= C_s, \quad C(\infty,t) = 0, \end{aligned} \right\} \quad (9.5) \\ C(x,0) = \lim_{t \rightarrow 0} C_s \left\{ 1 - \frac{2}{\sqrt{\pi}} \int_0^{2\sqrt{Dt}} e^{-y^2} dy \right\} \\ = C_s \left\{ 1 - \frac{2}{\sqrt{\pi}} \int_0^{\infty} e^{-y^2} dy \right\} = C_s \{1 - 1\} = 0, \quad (\text{補足2 参照}) \\ C(0,t) = C_s \left\{ 1 - \frac{2}{\sqrt{\pi}} \int_0^0 e^{-y^2} dy \right\} = C_s, \\ C(\infty,t) = C_s \left\{ 1 - \frac{2}{\sqrt{\pi}} \int_0^{\infty} e^{-y^2} dy \right\} = 0, \\ \text{となり、初期条件と境界条件もきちんと満たされていることがわかる。} \end{aligned}$$

23

$$\begin{aligned} \text{次に、不純物拡散開始時刻を } t=0 \text{ として、ある時間 } t \text{ までに} \\ \text{基板にドーピングされた不純物総量 } Q(t) \text{ を求めよう。} Q(t) \text{ は、} \\ Q(t) &= \int_0^{\infty} C(x,t) dx = \int_0^{\infty} C_s \left\{ 1 - \frac{2}{\sqrt{\pi}} \int_0^{2\sqrt{Dt}} e^{-y^2} dy \right\} dx \\ &= \frac{2C_s}{\sqrt{\pi}} \int_0^{\infty} \left\{ \frac{\sqrt{\pi}}{2} - \int_0^{2\sqrt{Dt}} e^{-y^2} dy \right\} dx \quad \left(\frac{\sqrt{\pi}}{2} = \int_0^{\infty} e^{-y^2} dy \right) \\ &= \frac{2C_s}{\sqrt{\pi}} \int_0^{\infty} \left\{ \int_0^{\infty} e^{-y^2} dy - \int_0^{2\sqrt{Dt}} e^{-y^2} dy \right\} dx \\ &= \frac{2C_s}{\sqrt{\pi}} \int_0^{\infty} dx \int_{\frac{x}{2\sqrt{Dt}}}^{\infty} e^{-y^2} dy, \\ \text{となる。ここで、積分範囲を変換すると、} \end{aligned}$$

24

$$\int_0^\infty dx \int_{\frac{x}{2\sqrt{Dt}}}^\infty e^{-y^2} dy = \int_0^\infty e^{-y^2} dy \int_0^{2\sqrt{Dt}y} dx,$$

となるので、

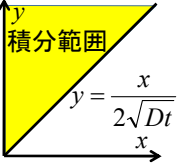
$$Q(t) = \frac{2C_s}{\sqrt{\pi}} \int_0^\infty dx \int_{\frac{x}{2\sqrt{Dt}}}^\infty e^{-y^2} dy$$

$$= \frac{2C_s}{\sqrt{\pi}} \int_0^\infty e^{-y^2} dy \int_0^{2\sqrt{Dt}y} dx$$

$$= \frac{2C_s\sqrt{Dt}}{\sqrt{\pi}} \int_0^\infty 2ye^{-y^2} dy = \frac{2C_s\sqrt{Dt}}{\sqrt{\pi}} [-e^{-y^2}]_0^\infty = \frac{2C_s\sqrt{Dt}}{\sqrt{\pi}}$$

$\cong 1.13C_s\sqrt{Dt}, \quad (9.7)$

となり、不純物総量 $Q(t)$ は時間と共に単調に増加する。また、



となり、不純物総量 $Q(t)$ は時間と共に単調に増加する。また、
を拡散長といふ。

25

25

不純物総量が一定の場合の拡散分布:

今度は、液体不純物塗布の様に、一定量(単位面積当たり Q_s)の不純物を基板表面にあらかじめ堆積させた後に不純物を拡散させる場合について、基板内の不純物濃度分布をフィックの方程式から求めてみよう。この場合の初期条件と境界条件は、

$$C(x, 0) = 0 \quad (x \neq 0), \int_0^\infty C(x, t) dx = Q_s, C(\infty, t) = 0, \quad (9.8)$$

となるので、フィックの方程式の解は、

$$C(x, t) = \frac{Q_s}{\sqrt{\pi D t}} e^{-\frac{x^2}{4Dt}}, \quad (9.9)$$

となる。証明のために、実際に(9.9)式をフィックの方程式に代入してみよう。

1

25

$$\begin{aligned}
 & C \text{を} t \text{で微分: } \frac{\partial C}{\partial t} = \frac{-Q_s}{2\sqrt{\pi Dt^3}} e^{-\frac{x^2}{4Dt}} + \frac{Q_s}{\sqrt{\pi Dt}} e^{-\frac{x^2}{4Dt}} \cdot \frac{x^2}{4Dt^2} \\
 & \quad = \left(\frac{x^2}{2Dt} - 1 \right) \frac{Q_s}{2\sqrt{\pi Dt^3}} e^{-\frac{x^2}{4Dt}}, \\
 & C \text{を} x \text{で微分: } \frac{\partial C}{\partial x} = \frac{Q_s}{\sqrt{\pi Dt}} e^{-\frac{x^2}{4Dt}} \cdot \frac{-2x}{4Dt} = \frac{-2Q_s x}{4Dt\sqrt{\pi Dt}} e^{-\frac{x^2}{4Dt}}, \\
 & x \text{でさらに微分: } \frac{\partial^2 C}{\partial x^2} = \frac{-2Q_s}{4Dt\sqrt{\pi Dt}} e^{-\frac{x^2}{4Dt}} \\
 & \quad - \frac{2Q_s x}{4Dt\sqrt{\pi Dt}} \cdot \frac{-2x}{4Dt} e^{-\frac{x^2}{4Dt}} = \left(\frac{x^2}{2Dt} - 1 \right) \frac{Q_s}{2D\sqrt{\pi Dt^3}} e^{-\frac{x^2}{4Dt}}, \\
 & \text{従って、} \frac{\partial C}{\partial t} = \left(\frac{x^2}{2Dt} - 1 \right) \frac{Q_s}{2\sqrt{\pi Dt^3}} e^{-\frac{x^2}{4Dt}} = D \frac{\partial^2 C}{\partial x^2}, \\
 & \quad (\text{証明終})
 \end{aligned}$$

27

21

また念のために、初期条件と境界条件も確認してみると、

$$\begin{cases} \text{初期条件: } C(x, 0) = 0 \quad (x \neq 0), \\ \text{境界条件: } \int_{-\infty}^{\infty} C(x, t) dx = Q_s, \quad C(\infty, t) = 0, \end{cases} \quad (9.8)$$

$$C(x, 0) = \lim_{t \rightarrow 0} \frac{Q_s}{\sqrt{\pi D t}} e^{-\frac{x^2}{4 D t}} = 0, \quad \left(u \equiv \frac{x}{2 \sqrt{D t}} \right)$$

$$\int_0^\infty C(x, t) dx = \int_0^\infty \frac{Q_s}{\sqrt{\pi D t}} e^{-\frac{x^2}{4Dt}} dx = \frac{2Q_s}{\sqrt{\pi}} \int_0^\infty e^{-u^2} du = Q_s$$

$$C(\infty, t) = \frac{Q_s}{\sqrt{\pi D t}} e^{-\infty} = 0, \quad \left(\frac{\sqrt{\pi}}{2} = \int_0^{\infty} e^{-u^2} du \right)$$

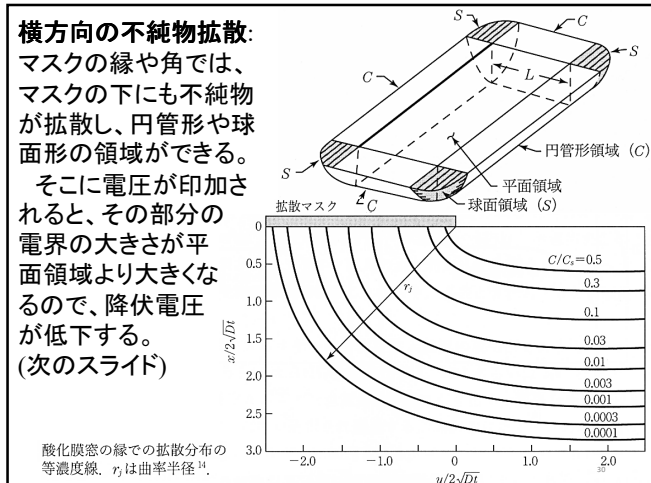
となり、満たされていることがわかる。また、この場合は、不純物の表面密度は、

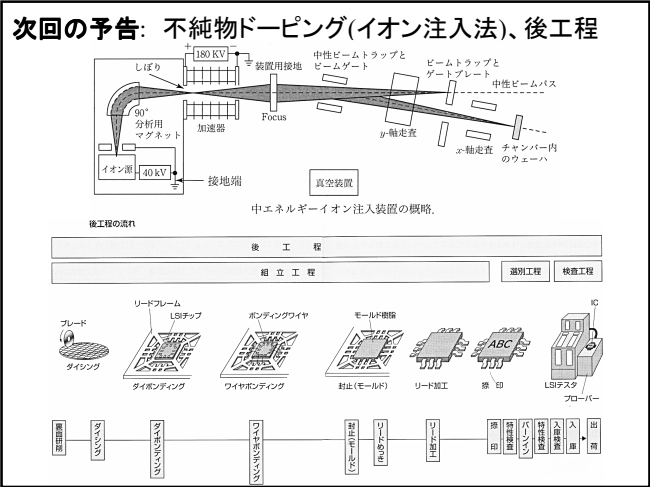
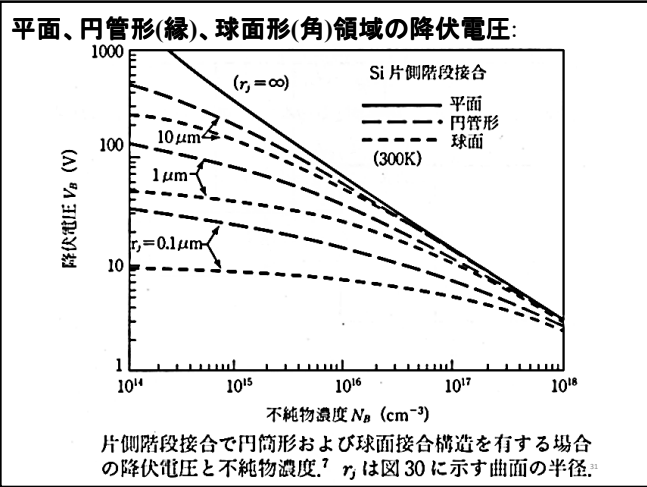
$$C(0,t) = \frac{Q_s}{\sqrt{\pi D t}}, \quad (9.10) \quad \text{となり、時間と共に減少していく。}$$

横方向の不純物拡散:

横方向の不純物拡散:
マスクの縁や角では、
マスクの下にも不純物
が拡散し、円管形や球
面形の領域ができる。

そこに電圧が印加されると、その部分の電界の大きさが平面領域より大きくなるので、降伏電圧が低下する。
(次のスライド)





(補足1)誤差関数: 誤差関数のまとめ

$$\text{erf}(x) \equiv \frac{2}{\sqrt{\pi}} \int_0^x e^{-y^2} dy$$

$$\text{erfc}(x) \equiv 1 - \text{erf}(x)$$

$$\text{erf}(0) = 0$$

$$\text{erf}(\infty) = 1$$

$$\text{erf}(x) \equiv \frac{2}{\sqrt{\pi}} x \quad \text{for } x \ll 1$$

$$\text{erfc}(x) \cong \frac{2}{\sqrt{\pi}} \frac{e^{-x^2}}{x} \quad \text{for } x \gg 1$$

$$\frac{d}{dx} \text{erf}(x) = \frac{2}{\sqrt{\pi}} e^{-x^2}$$

$$\frac{d^2}{dx^2} \text{erf}(x) = -\frac{4}{\sqrt{\pi}} x e^{-x^2}$$

$$\int_0^x \text{erfc}(y') dy' = x \text{erfc}(x) + \frac{1}{\sqrt{\pi}} (1 - e^{-x^2})$$

$$\int_0^\infty \text{erfc}(x) dx = \frac{1}{\sqrt{\pi}}$$

34

(補足2)

$$\left(\int_0^\infty e^{-y^2} dy \right)^2 = \left(\frac{1}{2} \int_{-\infty}^\infty e^{-y^2} dy \right)^2 = \frac{1}{4} \int_{-\infty}^\infty \int_{-\infty}^\infty e^{-(x^2+y^2)} dx dy,$$

ここで、直交座標から極座標に変数変換を行うと、ヤコビアンJは以下の様になるので、(微分・積分III参照)

$$\begin{cases} x = r \cos \theta \\ y = r \sin \theta \end{cases}, J = \begin{pmatrix} \partial x / \partial r & \partial x / \partial \theta \\ \partial y / \partial r & \partial y / \partial \theta \end{pmatrix} = \begin{pmatrix} \cos \theta & -r \sin \theta \\ \sin \theta & r \cos \theta \end{pmatrix},$$

$$dx dy = (\det J) dr d\theta = (r \cos^2 \theta + r \sin^2 \theta) dr d\theta$$

$$= r \cdot dr d\theta,$$

よって、求める積分は、

$$\frac{1}{4} \int_{-\infty}^\infty \int_{-\infty}^\infty e^{-(x^2+y^2)} dx dy = \frac{1}{4} \int_0^\infty dr \int_0^{2\pi} d\theta \cdot r e^{-r^2} = \frac{\pi}{2} \int_0^\infty r e^{-r^2} dr$$

$$= \frac{\pi}{2} \left[-e^{-r^2}/2 \right]_0^\infty = \frac{\pi}{4}, \quad \int_0^\infty e^{-y^2} dy = \sqrt{\frac{\pi}{4}} = \frac{\sqrt{\pi}}{2}, \quad \text{となる。}$$

35